

$\varepsilon_0 =$	10	8	6	4	3	2	1	0.8	($\varepsilon_m = 0.05$)
$\tau =$	0.61	0.62	0.64	0.66	0.72	0.75	0.83	0.90	
$\varepsilon_0 =$	0.6	0.5	0.4	0.32	0.2	0.1	0.08	0.06	($\varepsilon_m = 0.05$)
$\tau =$	0.92	0.95	0.97	1	1.07	1.17	1.30	1.37	
$\varepsilon_0 =$	10	8	6	4	3	2			($\varepsilon_m = 0.13$)
$\tau =$	0.34	0.61	0.45	0.47	0.52	0.57			
$\varepsilon_0 =$	1	0.8	0.6	0.4	0.3	0.2			($\varepsilon_m = 0.13$)
$\tau =$	0.62	0.69	0.75	0.86	0.89	0.98			

Экономичность алгоритмов I и II существенно зависит от ε_0 и ε_m . Если $\varepsilon_m \geq 13 M_{ee}$, то для любых ε_0 алгоритм I более выгоден, чем алгоритм II ($\tau \leq 1$). Для каждого значения $\varepsilon_m < 0.13 M_{ee}$ существует такое значение $\varepsilon_0 = \varepsilon_{0e}$, при котором оба алгоритма одинаково экономны ($\tau = 1$). С увеличением ε_m значение ε_{0e} смещается в сторону более низких энергий. В случае $\varepsilon_0 \ll \varepsilon_{0e}$ необходимо использовать алгоритм II ($\tau > 1$).

Данные, приведенные на фигуре, позволяют определить значение ε_{0e} в зависимости от $\varepsilon_m < 0.13 M_{ee}$. Очевидно, что в случае $\varepsilon_0 > \varepsilon_{0e}$ имеет смысл последовательное использование алгоритмов I и II соответственно, в особенности при $\varepsilon_0 \gg \varepsilon_{0e}$ и относительно более низких ε_m .

Поступила 20 I 1969

ЛИТЕРАТУРА

- Фано У., Спенсер Л., Бергер М. Перенос гамма-излучения. М., Атомиздат, 1963.
- Дядькин И. Г. Моделирование случайной энергии гамма-кванта, рассеянного в результате комптон-эффекта. Ж. вычисл. матем. и матем. физ., 1966, т. 6, № 2.

ОТРАЖЕНИЕ МАГНИТОЗВУКОВЫХ ВОЛН ОТ УПРУГОГО СЛОЯ С КОНЕЧНОЙ ЭЛЕКТРОПРОВОДНОСТЬЮ

Л. Я. Косачевский, В. Г. Пономаренко

(Донецк)

В работе [1] была решена задача об отражении магнитозвуковых волн от плоского слоя электропроводящей жидкости (или газа), находящейся в постоянном однородном магнитном поле H .

Ниже решается аналогичная задача для упругого слоя. Найдены коэффициенты отражения и прозрачности слоя в предельных случаях слабого и сильного магнитных полей.

1. Рассмотрим отражение от упругого плоского слоя толщины d , на который под произвольным углом падает быстрая магнитозвуковая волна (фигура). Граница слоя совпадает с плоскостью xy . Плоскость падения волны совмещена с плоскостью xz . Предполагаем, что вектор H лежит в этой же плоскости и составляет с осью x угол Φ . Жидкие (или газообразные) среды по обе стороны слоя электропроводящие.

В жидкой среде имеют место быстрая и медленная магнитозвуковые волны, поляризованные в плоскости xz , и волны Альфвена,— поляризованные перпендикулярно этой плоскости.

В упругой среде существует пять типов волн. Три из них — быстрая и медленная магнитоупругие, а также электромагнитная, связанная с процессом диффузии магнитного поля в среде,— поляризованы в плоскости xz . Четвертая и пятая волны поляризованы перпендикулярно xz .

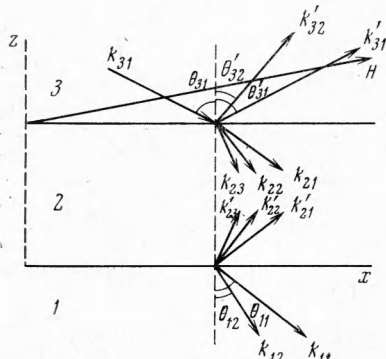
Волны, поляризованные перпендикулярно плоскости падения, распространяются независимо от остальных, поэтому в данной работе мы их можем не принимать во внимание.

Если на слой под произвольным углом θ падает быстрая магнитозвуковая волна, то при этом будут отражаться в верхнюю среду и проходить в нижнюю как быстрые, так и медленные магнитозвуковые волны. Внутри слоя в результате многократных отражений от его границ образуются результирующие волны трех типов.

Среду, из которой падает волна, слой и нижнюю среду будем обозначать соответственно номерами 3, 2 и 1. Величины, относящиеся к различным типам волн, будем обо-

значат] буквами с двумя индексами $A_{\mu\nu}$, где $\mu = 1, 2, 3$ означает номер среды, в которой распространяется волна, $\nu = 1$ соответствует первому, $\nu = 2$ — второму и $\nu = 3$ — третьему типу волн. Величины, относящиеся к волнам, распространяющимся в положительном направлении оси z , будем отмечать штрихами.

Из уравнений магнитной гидродинамики для плоских волн в жидкости вытекают соотношения



$$\begin{aligned}
 v_{\mu\nu x} &= M_{\nu\mu} v_{\mu\nu z}, \quad h_{\mu\nu x} = A_{\mu\nu} v_{\mu\nu z} \quad (1.1) \\
 E_{\mu\nu y} &= B_{\mu\nu} v_{\mu\nu z}, \quad p_{\mu\nu} = Z_{\mu\nu} v_{\mu\nu z} \\
 M_{\mu\nu} &= (k_{\mu\nu z} \cos \alpha_{\mu\nu} - k_{\mu\nu} u_{\mu\nu} \sin \phi) / \beta_{\mu\nu} \\
 \beta_{\mu\nu} &= k_{\mu\nu} u_{\mu\nu} \cos \phi - k_{\mu\nu x} \cos \alpha_{\mu\nu} \\
 A_{\mu\nu} &= H(u_{\mu\nu} - 1) \sqrt{u_{\mu\nu}} k_{\mu\nu z} / a_{\mu} \psi_{\mu} \beta_{\mu\nu} \\
 B_{\mu\nu} &= -\omega A_{\mu\nu} / c k_{\mu\nu z} \\
 Z_{\mu\nu} &= -\rho_{\mu} a_{\mu} (k_{\mu\nu x} M_{\mu\nu} + k_{\mu\nu z}) / \omega \\
 \alpha_{\mu\nu} &= 90^\circ - (\theta_{\mu\nu} - \phi), \quad \alpha'_{\mu\nu} = 90^\circ - (\theta'_{\mu\nu} + \phi) \\
 \psi_{\mu} &= H^2 / 4\pi \rho_{\mu} a_{\mu}^2, \quad u_{\mu\nu} = (\omega / k_{\mu\nu} a_{\mu})^2 \\
 (\mu &= 1, 3; \nu = 1, 2.)
 \end{aligned}$$

Здесь v_z , p — составляющая скорости, гидродинамическое давление и плотность жидкости, h — малое изменение напряженности магнитного поля в волне, E_y — напряженность индуцированного электрического поля, k — волновой вектор, ω — частота, a — скорость звука в жидкости, c — скорость света, α — угол между векторами k и H , ψ и ϕ представляют собой квадраты фазовой скорости и напряженности магнитного поля в безразмерной форме.

Фазовые скорости магнитозвуковых волн определяются дисперсионным уравнением

$$\begin{aligned}
 u_{\mu}^2 - (1 + \psi_{\mu}) u_{\mu} + \psi_{\mu} \cos^2 \alpha_{\mu} + i\omega \eta_{\mu} (u_{\mu} - 1) &= 0 \quad (1.2) \\
 \eta_{\mu} &= c^2 / 4\pi \sigma_{\mu} a_{\mu}^2
 \end{aligned}$$

где σ_{μ} — электропроводность среды.

В случае хорошо проводящих сред $\omega \eta_{\mu} \ll 1$ и слабого магнитного поля $\psi_{\mu} \ll 1$ из (1.2) находим

$$u_{\mu 1} = 1 + \psi_{\mu} \sin^2 \alpha_{\mu 1}, \quad u_{\mu 2} = \psi_{\mu} \cos^2 \alpha_{\mu 2} - i\omega \eta_{\mu} \quad (1.3)$$

При сильном магнитном поле $\psi_{\mu} \gg 1$ имеем

$$u_{\mu 1} = \psi_{\mu} + \sin^2 \alpha_{\mu 1}, \quad u_{\mu 2} = \cos^2 \alpha_{\mu 2} \left(1 - \frac{1}{\psi_{\mu}} \sin^2 \alpha_{\mu 2}\right) \quad (1.4)$$

Для волн в упругой среде имеем соотношения [2]

$$\begin{aligned}
 v_{2\nu x} &= M_{2\nu} v_{2\nu z}, \quad h_{2\nu x} = A_{2\nu} v_{2\nu z}, \quad E_{2\nu y} = B_{2\nu} v_{2\nu z} \\
 F_{2\nu zz} &= Z_{2\nu} v_{2\nu z}, \quad P_{2\nu xx} = X_{2\nu} v_{2\nu z} \\
 M_{2\nu} &= [(1 - \xi) k_{2\nu z} \cos \alpha_{2\nu} - k_{2\nu} (u_{2\nu} - \xi) \sin \phi] / \beta_{2\nu} \\
 \beta_{2\nu} &= k_{2\nu} (u_{2\nu} - \xi) \cos \phi - (1 - \xi) k_{2\nu x} \cos \alpha_{2\nu} \\
 A_{2\nu} &= H(u_{2\nu} - 1)(u_{2\nu} - \xi) k_{2\nu z} / a_2 \psi_2 \beta_{2\nu} \sqrt{u_{2\nu}} \\
 B_{2\nu} &= -\omega A_{2\nu} / c k_{2\nu z} \\
 Z_{2\nu} &= -\rho_2 a_2 [k_{2\nu z} + (1 - 2\xi) k_{2\nu x} M_{2\nu}] / \omega \\
 X_{2\nu} &= -\rho_2 b^2 (k_{2\nu x} + k_{2\nu z} M_{2\nu}), \quad a_2^2 = (\lambda + 2\mu) / \rho_2 \\
 \nu &= \mu / \rho_2, \quad \xi = b^2 / a_2^2, \quad \psi_2 = H^2 / 4\pi \rho_2 a_2^2
 \end{aligned}$$

Дисперсионное уравнение имеет вид [3, 4]

$$\begin{aligned}
 u_2^2 - (1 + \xi + \psi_2) u_2 + \xi + \psi_2 (\cos^2 a_2 + \xi \sin^2 a_2) + i\omega \eta_2 u_2^{-1} (u_2 - 1) (u_2 - \xi) &= 0 \\
 u_2 &= (\omega / k_2 a_2)^2, \quad \eta_2 = c^2 / 4\pi \sigma_2 a_2^2
 \end{aligned}$$

При малых $\omega\eta_2$ и ψ_2 корнями этого уравнения будут

$$u_{21} = 1 + \psi_2 \sin^2 \alpha_{21}, \quad u_{22} = \xi + \psi_2 \cos^2 \alpha_{22}, \quad u_{23} = -i\omega\eta_2 \quad (1.7)$$

В случае $\psi_2 \gg 1$ имеем

$$\begin{aligned} u_{21} &= \psi_2 + \sin^2 \alpha_{21} + \xi \cos^2 \alpha_{21}, \quad u_{22} = \cos^2 \alpha_{22} + \xi \sin^2 \alpha_{22} - \\ &- \frac{(1-\xi)^2}{4\psi_2} \sin^2 2\alpha_{22}, \quad u_{23} = -\frac{i\xi\omega\eta_2}{\psi_2(\cos^2 \alpha_{23} + \xi \sin^2 \alpha_{23})} \end{aligned} \quad (1.8)$$

Углы $\theta_{\mu\nu}$ связаны соотношениями (закон Снеллиуса)

$$k_{\mu\nu} \sin \theta_{\mu\nu} = k_{31} \sin \theta_{31} \quad (1.9)$$

В случае слабого магнитного поля согласно (1.3) и (1.7) с точностью до главных членов (1.9) принимает вид

$$\begin{aligned} \frac{\sin \theta_{31}}{a_3} &= \frac{\sin \theta_{\mu 1}}{a_\mu} = \frac{\sin \theta_{12}}{a_1 \sqrt{\psi_1 \sin^2 \varphi - i\omega\eta_1}} = \\ &= \frac{\sin \theta_{22}}{b} = \frac{\sin \theta_{23}}{a_2 \sqrt{-i\omega\eta_2}} = \frac{\sin \theta_{32}}{a_3 \sqrt{\psi_3 \sin^2 \varphi - i\omega\eta_3}} \\ \theta_{\mu\nu} &= \theta_{\mu\nu} \end{aligned} \quad (1.10)$$

При сильном поле учитывая (1.4) и (1.8), имеем

$$\begin{aligned} \frac{\sin \theta_{31}}{a_3 \sqrt{\psi_3}} &= \frac{\sin \theta_{\mu 1}}{a_\mu \sqrt{\psi_1}} = \frac{\sin \theta_{12}}{a_1 \sin \varphi} = \frac{\sin \theta_{22}}{a_2 \sqrt{\sin^2 \varphi + \xi \cos^2 \varphi}} = \\ &= \frac{\sin \theta_{23} \sqrt{\psi_2 (\sin^2 \varphi + \xi \cos^2 \varphi)}}{a_2 \sqrt{-i\xi\omega\eta_2}} = \frac{\sin \theta_{32}}{a_3 \sin \varphi}, \quad \theta_{\mu\nu}' = \theta_{\mu\nu} \end{aligned} \quad (1.11)$$

Принимая амплитуду v_{31z} за единицу, записываем поле скоростей в виде

$$\begin{aligned} v_{3z} &= -\exp[-i\gamma_{31}(z-d)] + \sum_{v=1}^2 W_{3v}' \exp[i\gamma_{3v}(z-d)] \\ v_{2z} &= \sum_{v=1}^3 [W_{2v} \exp(-i\gamma_{2v}z) + W_{2v}' \exp(i\gamma_{2v}z)] \\ v_{1z} &= -\sum_{v=1}^2 W_{1v} \exp(-i\gamma_{1v}z), \quad \gamma_{\mu\nu} = k_{\mu\nu} \cos \theta_{\mu\nu} \end{aligned} \quad (1.12)$$

Для краткости здесь опущен общий множитель $\exp[ik_{\mu\nu}x - \omega t]$, W_{3v} и W_{1v} — амплитудные коэффициенты отражения и прозрачности слоя, подлежащие определению.

Выражения $h_{\mu x}$, $E_{\mu\nu}$, p_μ , P_{2zz} и P_{2xz} получаются согласно (1.1), (1.5) заменой коэффициентов $W_{\mu\nu}$ в (1.12) на

$$A_{\mu\nu} W_{\mu\nu}, B_{\mu\nu} W_{\mu\nu}, Z_{\mu\nu} W_{\mu\nu}, X_{\mu\nu} W_{\mu\nu}.$$

На границах слоя имеют место условия:

при $z = 0$

$$v_{1z} = v_{2z}, \quad h_{1x} = h_{2x}, \quad [E_{1y} = E_{2y}, \quad -p_1 = P_{2zz}, \quad P_{2xz} = 0] \quad (1.13)$$

при $z = d$

$$v_{2z} = v_{3z}, \quad h_{2x} = h_{3x}, \quad E_{2y} = E_{3y}, \quad P_{2zz} = -p_3, \quad P_{2xz} = 0$$

Таким образом, учитывая (1.1), (1.5) и (1.13), получаем систему линейных уравнений относительно амплитудных коэффициентов отражения и прозрачности $W_{\mu\nu}$ и $W_{\mu\nu}'$ для $v_{\mu\nu z}$.

2. Решение этой системы при слабом магнитном поле с точностью до главных членов имеет вид

$$\begin{aligned}
 W_{31}' &= V + \frac{1}{\rho_2 \Delta \cos 2\theta_{22}} \{ [(\rho_1 - \rho_2 \cos 2\theta_{22}) Z_1 W_{12} + iF] N - \\
 &\quad - (\rho_2 \cos 2\theta_{22} - \rho_3) [M - i(N^2 - M^2)] Z_3 W_{32}' - L(1 - iM) \} \\
 W_{11} &= W + \frac{1}{\rho_2 \Delta \cos 2\theta_{22}} \{ (\rho_1 - \rho_2 \cos 2\theta_{22}) [MZ_3 - i(N^2 - M^2) Z_1] Z_1 W_{12} - \\
 &\quad - [(\rho_2 \cos 2\theta_{22} - \rho_3) Z_3 W_{32}' - iL] Z_1 N + F(Z_3 + iZ_1 M) \} \\
 W_{32}' &= \frac{\Phi_2}{\delta \rho_3} \{ [(\rho_2 \cos 2\theta_{22} - \rho_3)(1 + V) \operatorname{tg} \theta_{31} - \rho_2 P \cos(2\theta_{22} - \theta_{21})] (\cos \gamma_{23}d - i \sin \gamma_{23}d) + \\
 &\quad + (\rho_1 - \rho_2 \cos 2\theta_{22}) W \operatorname{tg} \theta_{11} - \rho_2 R \cos(2\theta_{22} - \theta_{21}) \} \\
 W_{12} &= -\frac{\Phi_2}{\delta \rho_1} \{ [(\rho_1 - \rho_2 \cos 2\theta_{22}) W \operatorname{tg} \theta_{11} - \rho_2 R \cos(2\theta_{22} - \theta_{21})] (\cos \gamma_{23}d - i \sin \gamma_{23}d) + \\
 &\quad + (\rho_2 \cos 2\theta_{22} - \rho_3)(1 + V) \operatorname{tg} \theta_{31} - \rho_2 P \cos(2\theta_{22} - \theta_{21}) \} \\
 W &= 2\Delta^{-2} Z_3 N, \quad V = \Delta^{-1} \{ M(Z_1 - Z_3) - i[(N^2 - M^2) Z_1 - Z_3] \} \\
 \Delta &= M(Z_1 + Z_3) - i[(N^2 - M^2) Z_1 + Z_3] \quad (2.1) \\
 R &= \frac{2 \sin \theta_{22}}{Z_1 N} \left\{ Z_3(1 + V) \operatorname{ctg} \gamma_{22}d + i \left[Z_{2\tau} \sin^2 2\theta_{22} + \frac{1 - \cos \gamma_{21}d \cos \gamma_{22}d}{\sin \gamma_{21}d \sin \gamma_{22}d} Z_2 \cos 2\theta_{22} \right] (1 - V) \right\} \\
 P &= \frac{2 \sin \theta_{22}}{Z_1 N} \left[\frac{Z_3}{\sin \gamma_{22}d} (1 + V) - i \left(\frac{\operatorname{ctg} \gamma_{21}d}{\sin \gamma_{22}d} - \frac{\operatorname{ctg} \gamma_{22}d}{\sin \gamma_{21}d} \right) Z_2 (1 - V) \cos^2 2\theta_{22} \right] \\
 \Phi_2 &= \frac{\psi_2 \sin^2 \varphi \sin \theta_{21}}{\sqrt{-i \omega \eta_2 \cos 2\theta_{22}}} \\
 F &= \frac{2}{\sin \gamma_{22}d} (\rho_1 W_{12} \cos \gamma_{22}d - \rho_3 W_{32}') Z_{2\tau} \cos^2 \theta_{22} \\
 L &= \frac{2}{\sin \gamma_{22}d} (\rho_1 W_{12} - \rho_3 W_{32}' \cos \gamma_{22}d) Z_{2\tau} \cos^2 \theta_{22} \\
 N &= \frac{Z_2 \cos^2 2\theta_{22}}{Z_1 \sin \gamma_{21}d} + \frac{Z_{2\tau}}{Z_1} \frac{\sin^2 2\theta_{22}}{\sin \gamma_{22}d} \\
 M &= \frac{Z_2}{Z_1} \cos^2 2\theta_{22} \operatorname{ctg} \gamma_{21}d + \frac{Z_{2\tau}}{Z_1} \sin^2 2\theta_{22} \operatorname{ctg} \gamma_{22}d \\
 Z_\mu &= \frac{\rho_\mu a_\mu}{\cos \theta_{\mu 1}}, \quad Z_{2\tau} = \frac{\rho_2 b}{\cos \theta_{22}} \\
 \delta &= (m + n) \cos \gamma_{23}d - i(1 + mn) \sin \gamma_{23}d \\
 m &= \frac{a_3}{a_2} \left(\frac{\psi_3 \sin^2 \varphi - i \omega \eta_3}{-i \omega \eta_2} \right)^{1/2}, \quad n = \frac{a_1}{a_2} \left(\frac{\psi_1 \sin^2 \varphi - i \omega \eta_1}{-i \omega \eta_2} \right)^{1/2}
 \end{aligned}$$

Здесь V и W коэффициенты отражения и прозрачности в отсутствие магнитного поля [6].

Таким образом, при наклонном падении магнитозвуковой волны на слой коэффициенты отражения и прозрачности отличаются от обычных акустических коэффициентов членами порядка $\psi_2 (-i \omega \eta_2)^{-1/2}$.

Полагая $d = 0$ в (2.1), получим коэффициенты отражения и прозрачности границы раздела двух сред — 3 и 1 [1].

При нормальном падении магнитное поле в рассмотренном приближении на амплитудные коэффициенты не влияет.

3. Решение системы (1.13) при сильном магнитном поле с точностью до членов порядка $1/\sqrt{\psi}$ имеет вид

$$\begin{aligned} W_{31}' &= \frac{1}{\Delta} [n_2(n_1 - n_3) \cos \gamma_{21}d - i(n_2^2 - n_1 n_3) \sin \gamma_{21}d] \\ W_{11} &= \frac{2}{\Delta} n_2 n_3 \\ W_{12} &= \frac{2 n_2 n_3 \operatorname{tg} \varphi}{a_1 \sqrt{\psi_1} \Delta \delta} \left\{ I(q + \xi L)(m_2^* \cos \gamma_{22}d - i m_3 \sin \gamma_{22}d) - \right. \\ &- m_2^*(r + \xi L) \cos \gamma_{21}d \cos(\theta_{11} - \varphi) + i \frac{r m_2^*}{\cos \theta_{21}} \left[\sqrt{\frac{\rho_2}{\rho_1}} \cos \varphi + \sin \theta_{21} \cos(\theta_{11} + \varphi) + \right. \\ &\quad \left. \left. + \xi \frac{n_1}{n_2 r} L \cos \theta_{21} \cos(\theta_{11} - \varphi) \right] \sin \gamma_{21}d \right\} \\ W_{32}' &= -\frac{1}{m_2^*} \left\{ W_{12}(m_2^* \cos \gamma_{22}d - i m_1 \sin \gamma_{22}d) + \right. \\ &\quad \left. + i W_{11} \frac{\operatorname{tg} \varphi}{a_1 \sqrt{\psi_1}} (q + \xi L) \cos(\theta_{11} - \varphi) \sin \gamma_{22}d \right\} \\ \Delta &= n_2(n_1 + n_3) \cos \gamma_{21}d + i(n_2^2 + n_1 n_3) \sin \gamma_{21}d \\ \delta &= m_2^*(m_1 + m_3) \cos \gamma_{22}d - i(m_2^{*2} + m_1 m_3) \sin \gamma_{22}d \\ q &= m_2^* a_2 - m_1 a_1, \quad r = m_2^* a_2 - m_3 a_3 \\ n_p &= \sqrt{\rho_p} \cos \theta_{p1}, \quad m_p = p_p a_p, \quad m^* = m_2 / \sqrt{1 + \xi \operatorname{ctg}^2 \varphi} \\ L &= \frac{2 m_2 a_2}{\cos(\theta_{11} - \varphi)} \sin \theta_{11} \sin \varphi \\ \gamma_{21} &= \frac{\omega \cos \theta_{21}}{a_2 \sqrt{\psi_2}}, \quad \gamma_{22} = \frac{\omega}{a_2 \sqrt{\sin^2 \varphi + \xi \cos^2 \varphi}} \end{aligned}$$

Если толщина слоя значительно меньше длины быстрой магнитоупругой волны ($\gamma_{21}d \ll 1$), формулы (3.1) существенно упрощаются

$$\begin{aligned} W_{31}' &= \frac{n_1 - n_3}{n_1 + n_3} - 2i \frac{n_2^2 - n_1^2}{(n_1 + n_3)^2} \gamma_{31}d, \quad W_{11} = \frac{2 n_3}{n_1 + n_3} + 2i \frac{n_2^2 + n_1 n_3}{(n_1 + n_3)^2} \gamma_{31}d \\ W_{32}' &= \frac{\beta}{\sqrt{\psi_1} \delta} [I(r + \xi L)(m_2^* \cos \gamma_{22}d - i m_3 \sin \gamma_{22}d) - (q + \xi L)m_2^*] \\ W_{12} &= \frac{\beta}{\sqrt{\psi_1} \delta} [I(q + \xi L)(m_2^* \cos \gamma_{22}d - i m_3 \sin \gamma_{22}d) - (r + \xi L)m_2^*] \\ \beta &= \frac{2 n_3 \operatorname{tg} \varphi}{a_1 (n_1 + n_3)} \cos(\theta_{11} - \varphi), \quad \gamma_{31} = \frac{\omega \cos \theta_{31}}{a_3 \sqrt{\psi_3}} \end{aligned}$$

Положив в формулах (3.1) и (3.2) $\xi = 0$, получим коэффициенты отражения и прозрачности для жидкого слоя [1].

Поступила 17 II 1969

ЛИТЕРАТУРА

1. Косачевский Л. Я. Распространение магнитозвуковых волн в слоистых средах. ПМТФ, 1966, № 6.
2. Косачевский Л. Я. Отражение магнитозвуковых волн на границе раздела двух сред с конечной электропроводностью. ПММ, 1965, т. 19, вып. 2.
3. Бапос А. Normal modes characterizing magnetoelastic plane waves. Phys. Rev., 1956, vol. 104, No. 2.
4. Кейлис-Борок Б. И., Монин А. С. Магнитоупругие волны и граница земного ядра. Изв. АН СССР, Сер. геофиз., 1959, № 11.
5. Бреховских Л. М. Волны в слоистых средах. М., Изд-во АН СССР, 1957.